# Numerische Grundlagen: Finite Differenzen, Finite Elemente, Finite Volumen

S. Roller<sup>1</sup>, M. Ferch<sup>2</sup>, C.-D. Munz<sup>2</sup>, M. Dumbser<sup>2</sup>

Universität Stuttgart <sup>1</sup>Höchstleistungsrechenzentrum Stuttgart (HLRS)

www.hlrs.de

<sup>2</sup>Institut für Aerodynamik und Gasdynamik (IAG)

www.iag.uni-stuttgart.de



Grundlagen: FD, FE, FV Roller, Ferch, Munz, Dumbser







#### Inhalt

#### Zentrales Thema:

Numerisches Lösen von partiellen Differentialgleichungen

- Differenzen-Verfahren
- 2. Finite-Volumen-Verfahren
- 3. Finite-Element-Verfahren
- 4. Diskussion: Explizite oder implizite Verfahren













#### Differenzen-Verfahren (Finite Differences Schemes - FD)

Idee:

$$u'(x) = \lim_{h \to 0} \frac{u(x+h) - u(x)}{h}$$

Differenzenquotient

Ersetze die Ableitungen durch Differenzenquotienten

partielle Differenzialgleichung => System von Differenzengleichungen in speziellen Punkten



- 1. Schritt: Diskretisierung des Rechengebietes, Gitter
- 2. Schritt: Auswahl der Differenzenguotienten,

Ersetzen der Ableitungen durch Differenzen

- 3. Schritt: Ordnen der Differenzengleichungen
- 4. Schritt: Lösen der Differenzengleichungen, lineares Gleichungssystem













# Schritt 1: Diskretisierung des Rechengebiets

Intervall I = [a, b]Rechengebiet:

Gitterpunkte:  $x_i = a + i\Delta x$ , i = 0,...,nDiskretisierung:

Äquidistantes Gitter: Gitterschrittweite:  $\Delta x = \frac{b-a}{a}$ 

n+1: Anzahl der Gitterpunkte Anzahl der Gitterintervalle



Grundlagen: FD, FE, FV Roller, Ferch, Munz, Dumbser ICFD-051 Slide 5 Universität Stuttgart



MAG H L R S ∰





#### Schritt 2: Differenzenguotienten

Taylorentwicklungen

- (1)  $u(x_{i-1}) = u(x_i) \Delta x u_x(x_i) + \frac{\Delta x^2}{2} u_{xx}(x_i) \frac{\Delta x^3}{6} u_{xxx}(x_i) + \dots$
- (2)  $u(x_{i+1}) = u(x_i) + \Delta x u_x(x_i) + \frac{\Delta x^2}{2} u_{xx}(x_i) + \frac{\Delta x^3}{6} u_{xxx}(x_i) + \dots$

Differenzenquotient für Ableitung: (2) – (1)

$$u(x_{i+1}) - u(x_{i-1}) = 2\Delta x u_x(x_i) + \frac{2\Delta x^3}{6} u_{xxx}(x_i) + O(\Delta x^5)$$

$$\frac{u(x_{i+1}) - u(x_{i-1})}{2\Delta x} = u_x(x_i) + \frac{\Delta x^2}{6} u_{xxx}(x_i) + O(\Delta x^4)$$









### Schritt 2: Differenzenguotienten

$$\frac{u(x_{i+1})-u(x_{i-1})}{2\Delta x} = u_x(x_i) + O(\Delta x^2)$$

zentraler Differenzenquotient 2.Ordnung

$$\frac{u(x_{i+1})-u(x_{i})}{\Delta x}=u_{x}(x_{i})+O(\Delta x)$$

rechtsseitiger Differenzenguotient 1.Ordnung

$$\frac{u(x_i) - u(x_{i-1})}{\Delta x} = u_x(x_i) + O(\Delta x)$$

linksseitiger Differenzenguotient 1.Ordnuna

$$\frac{u(x_{i+1}) - 2u(x_i) + u(x_{i-1})}{h^2} = u_{xx}(x_i) + O(\Delta x^2)$$

zentraler Differenzenguotient, 2.Ordnung für 2. Ableitung

- Differenzenguotienten h\u00f6herer Ordnung mehr als 3 Punkte
- Differenzenguotienten unterschiedliche Ordnung, Bauart
- Nicht-äguidistant: Formeln komplizierter













### Symmetrische Formeln für das einfache FD-Verfahren

k = i - 3 - 2 - 1 0 + 1 + 2 + 3

#### 1. Symmetrische Formeln











### Unsymmetrische Formeln für das einfache FD-Verfahren

2. Unsymmetrische Formeln (Auswahl)

$$k = i - 2 \quad -1 \quad 0 \quad +1 \quad +2 \quad +3 \quad +4$$

$$y_i''' = \frac{1}{2h^3} \begin{pmatrix} -3 & +10 & -12 & +6 & -1 \\ -8h^3 & -8h & +35 & -48h & +29 & -8h & +1 \end{pmatrix} *y_k + \frac{h^2}{4} y^V$$







#### Schritt 2: Einsetzen der Differenzen in die Gleichung

Beispiel: Lineares Randwertproblem

$$u_{xx} = r(x) - q(x)u - p(x)u_{x}, \quad u(a) = \alpha, \quad u(b) = \beta$$

$$\frac{u_{i+1} - 2u_i + u_{i-1}}{\Delta x^2} + p(x_i) \frac{u_{i+1} - u_{i-1}}{2\Delta x} + q(x_i)u_i = r(x_i), \quad i = 1, \dots, n-1$$

u, Näherungswert bei x,

3 Punktestern





### Schritt 3: Ordnen der Differenzengleichungen

$$\frac{u_{i+1} - 2u_i + u_{i-1}}{\Delta x^2} + p(x_i) \frac{u_{i+1} - u_{i-1}}{2\Delta x} + q(x_i) u_i = r(x_i)$$

$$\left(\frac{1}{\Delta x^{2}} - \frac{p(x_{i})}{2\Delta x}\right)u_{i-1} - \left(\frac{2}{\Delta x^{2}} - q(x_{i})\right)u_{i} + \left(\frac{1}{\Delta x^{2}} + \frac{p(x_{i})}{2\Delta x}\right)u_{i+1} = r(x_{i})$$

Lineares Gleichungssystem, gilt an allen inneren Gitterpunkten:

$$i = 1, ...., n - 1$$

Sonderbehandlung der äußeren Punkte: Einarbeitung der Randwerte

### Schritt 4: Lineares Gleichungssystem

$$\underbrace{\left(\frac{1}{\Delta x^2} - \frac{p(x_i)}{2\Delta x}\right)}_{=: a_i} u_{i-1} + \underbrace{\left(-\frac{2}{\Delta x^2} + q(x_i)\right)}_{=: b_i} u_i + \underbrace{\left(\frac{1}{\Delta x^2} + \frac{p(x_i)}{2\Delta x}\right)}_{=: c_i} u_{i+1} = r(x_i)$$



$$a_i u_{i-1} + b_i u_i + c_i u_{i+1} = r(x_i), i = 2, ..., n-2$$

Rand links: 
$$b_1 \ u_1 + c_1 \ u_2 = r(x_1) - a_1 \ u_0$$
 bekannter Randwert

Rand rechts: 
$$a_{n-1} u_{n-2} + b_{n-1} u_{n-1} = r(x_n) - c_{n-1} u_n$$





### Schritt 4: Tridiagonales Gleichungssystem

$$A\vec{u}_h = r_h$$



Grundlagen: FD, FE, FV Roller, Ferch, Munz, Dumbser ICFD-05l Slide 13 Universität Stuttgart



 $a_{n-1} u_{n-2} + b_{n-1} u_{n-1} = r(x_n) - c_{n-1} u_n$ 

MG H L R S ∭



# Schritt 4: Form des Gleichungssystems $A\vec{u}_h = r_h$

$$A = \begin{pmatrix} b_1 & c_1 & & & \\ a_2 & b_2 & c_2 & & & \\ & a_3 & b_3 & c_3 & & \\ & & a_4 & b_4 & c_4 & & \\ & & & a_5 & b_5 & c_5 & \\ & & & & a_6 & b_6 \end{pmatrix} \qquad \vec{u}_h = \begin{pmatrix} u_1 \\ u_2 \\ u_3 \\ u_4 \\ u_5 \\ u_6 \end{pmatrix} \qquad \vec{r}_h = \begin{pmatrix} r_1 \\ r_2 \\ r_3 \\ r_4 \\ r_5 \\ r_6 \end{pmatrix}$$





##G H L R \ S ∰





### 1.1 Differenzen-Verfahren für die Poisson-Gleichung

$$u_{xx}+u_{yy}=f$$

Rechengebiet: [a, b] x [c, d]

Randwerte (Dirichlet):

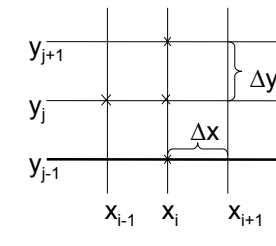
$$u(a,y)=u_a(y)$$
 für  $y \in [c,d]$ 

$$u(b,y)=u_b(y)$$

$$u(x,c)=u_c(x)$$
 für  $x \in [a,b]$ 

$$u(x,d)=u_d(x)$$

### 1. Schritt: Diskretisierung des Rechengebiets



äguidistante Schrittweiten

$$\Delta x = \frac{b-a}{n_1}, \quad \Delta y = \frac{d-c}{n_2}$$

Gitterpunkte

$$x_i = a + i\Delta x$$
,  $i = 0,..., n_1$ 

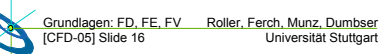
$$y_j = c + j\Delta y$$
,  $j = 0,...,n_2$ 



















### 2. Schritt: Differenzenquotienten

$$\frac{u_{i+1,j} - 2u_{i,j} + u_{i-1,j}}{\Delta x^{2}} \quad \text{appr.} \quad u_{xx}(x_{i}, y_{j})$$

$$\frac{u_{i,j+1} - 2u_{i,j} + u_{i,j-1}}{\Delta y^2}$$
 appr.  $u_{yy}(x_i, y_j)$ 

Ersetzen der Ableitungen in Poissongleichung durch Differenzen ergibt

$$\frac{u_{i+1,j} - 2u_{i,j} + u_{i-1,j}}{\Delta x^2} + \frac{u_{i,j+1} - 2u_{i,j} + u_{i,j-1}}{\Delta y^2} = f_{i,j}$$

für jeden inneren Gitterpunkt x<sub>i</sub>, y<sub>i</sub>



Grundlagen: FD, FE, FV Roller, Ferch, Munz, Dumbser ICFD-05l Slide 17 Universität Stuttgart



#AG HLR S ∰

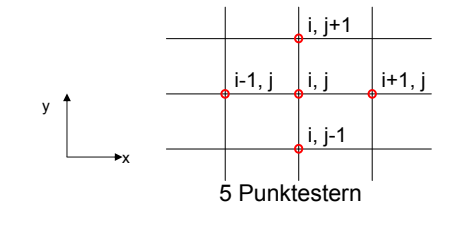


#### 3. Schritt: Ordnen der Differenzengleichungen

Gleichung an jedem inneren Gitterpunkt

$$\frac{u_{i+1,j} - 2u_{i,j} + u_{i-1,j}}{\Delta x^{2}} + \frac{u_{i,j+1} - 2u_{i,j} + u_{i,j-1}}{\Delta y^{2}} = f(x_{i}, y_{j})$$

$$i = 1, ..., n_{1} - 1, j = 1, ..., n_{2} - 1$$



 $P_{i,i}=(x_i,y_i)$ u<sub>i,i</sub>≈u(x<sub>i</sub>,y<sub>i</sub>)

Näherung

exakter Wert









#### Aufbau des Gleichungssystems

$$\frac{u_{i+1,j} - 2u_{i,j} + u_{i-1,j}}{\Delta x^{2}} + \frac{u_{i,j+1} - 2u_{i,j} + u_{i,j-1}}{\Delta y^{2}} = f(x_{i}, y_{j})$$

$$i = 1, ..., n_{1} - 1, j = 1, ..., n_{2} - 1$$

mit Sonderbehandlung des Randes ergibt sich

$$\begin{aligned} a_{i,j}u_{i,j-1} + b_{i,j}u_{i-1,j} + c_{i,j}u_{i,j} + d_{i,j}u_{i+1,j} + e_{i,j}u_{i,j+1} &= \overline{f}_{i,j} \\ i &= 1, \dots, n_1 - 1, \ j = 1, \dots, n_2 - 1 \end{aligned}$$



Grundlagen: FD, FE, FV [CFD-05]











# Form des Gleichungssystems



#### 4. Schritt: Lösen des Gleichungssystems

#### Lösungsverfahren

Gauß-Algorithmus?

ungünstig – rechnet mit allen Nullen

sinnvoller: Iterationsverfahren

löst LGS auch nur bis zur vorgegebenen Genauigkeit

Grundlagen: FD, FE, FV Roller, Ferch, Munz, Dumbser ICFD-051 Slide 21 Universität Stuttgart







#### Iterative Verfahren zur Lösung schwach besetzter großer Gleichungssysteme

- Klassische Iterationsverfahren: Jacobi-, Gauß-Seidel-, SOR-Verfahren. Problem ist das schlecht-konditionierte System für kleine Schrittweiten. Wird nur auf kleine Systeme angewandt.
- CG-Verfahren (Methode der konjugierten Gradienten) geeignet für symmetrische und positiv-definite Matrizen
- Methode der verallgemeinerten Residuen, Krylov-Unterraum-Methoden Verallgemeinerung des CG-Verfahrens: GMRES. **BIGSTAB**
- Mehrgitterverfahren Nachteil der klassischen Interationsverfahren wird korrigiert, indem diese auf verschiedenen Gittern angewandt und kombiniert werden. Sehr schnell, aber auch Parameter abhängig



Grundlagen: FD, FE, FV Roller, Ferch, Munz, Dumbser









#### 1.2 Differenzen-Verfahren für die Wärmeleitungsgleichung

Wärmeleitungsgleichung:

$$u_t = \kappa u_{xx}$$

**Explizites Verfahren** 

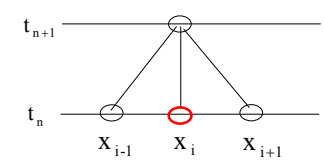
$$\frac{u_{i}^{n+1} - u_{i}^{n}}{\Delta t} = \kappa \frac{u_{i+1}^{n} - 2u_{i}^{n} + u_{i-1}^{n}}{\Delta x^{2}}$$

vorwärts

zentraler

Differenzenquotient

Auflösen nach  $u_i^{n+1}$ :  $u_i^{n+1} = u_i^n + \frac{\kappa \Delta t}{\Delta \mathbf{v}^2} \left( u_{i+1}^n - 2u_i^n + u_{i-1}^n \right)$ 



Differenzenstern













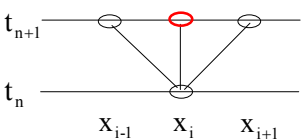
# Implizite Verfahren I

$$\frac{u_{i}^{n+l}-u_{i}^{n}}{\Delta t}=\kappa\frac{u_{i+l}^{n+l}-2u_{i}^{n+l}+u_{i-l}^{n+l}}{\Delta x^{2}}$$

rückwärts

zentraler

Differenzenquotient



Differenzenstern

Lineares Gleichungssystem

$$-\frac{\alpha \Delta t}{\Delta x^{2}} u_{i-1}^{n+1} + \left(1 + 2\frac{\alpha \Delta t}{\Delta x^{2}}\right) u_{i}^{n+1} - \frac{\alpha \Delta t}{\Delta x^{2}} u_{i+1}^{n+1} = u_{i}^{n}, \quad i = 1, ..., n_{1} - 1$$











### Implizite Verfahren II

$$\frac{u_i^{n+l} - u_i^n}{\Delta t} = \kappa \frac{u_{i+1}^{n+l} - 2u_i^{n+l} - u_{i-l}^{n+l}}{\Delta x^2}$$

Vollimplizites Verfahren

$$\frac{u_{i}^{n+l}-u_{i}^{n}}{\Delta t}=\kappa\frac{u_{i+l}^{n+l/2}-2u_{i}^{n+l/2}-u_{i-l}^{n+l/2}}{\Delta x^{2}}$$

Crank-Nicolsen Verfahren zentrale Differenzen in der Zeit

$$u_i^{n+1/2} = \frac{1}{2} \Big( u_i^n + u_i^{n+1} \Big)$$



Differenzenstern

Grundlagen: FD, FE, FV Roller, Ferch, Munz, Dumbser





#### Beurteilung eines Verfahrens

Konsistenz: Aussage über die Güte des Verfahrens -

Konsistenzordnung, Fehler in einem Schritt

Aussage über die Robustheit bei Störungen, Stabilität:

verschiedene Stabilitäts-kriterien

Konvergenz gegen die exakte Lösung, Konvergenz:

Konvergenzordnung

Benchmark-Probleme: praktischer Test der Verfahren

Grundlagen: FD, FE, FV Roller, Ferch, Munz, Dumbser ICFD-051 Slide 26 Universität Stuttgart





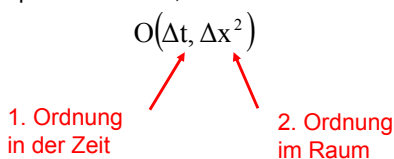


#### Konsistenz

exakten Lösung in das Näherungsverfahren

$$\frac{u(x_{i+1}) - u(x_{i-1})}{2\Delta x} = u'(x_i) + O(\Delta x^2)$$
2. Ordnung

Beispiel: Explizit in der Zeit, zentral im Raum















### Stabilität

Ein Verfahren für den praktischen Einsatz muss stabil sein.

Unterschiedliche Probleme erfordern unterschiedliche Stabilitätseigenschaften

Beispiel: Viskose Strömung – kein Stabilitätsproblem

turbulente Strömungen – Verfahren benötigt inhärente Stabilität

Stoßwellen – keine Oszillationen an starken Gradienten

bedingt stabil: Stabilität nur unter einer Bedingung an die

Schrittweiten - Zeitschrittweite

bedingungslos stabil: Ohne Bedingung



# Differenzenverfahren für parabolische DGL Zusammenfassung

#### **Explizite Verfahren**

Das explizite Verfahren  $O(\Delta t, \Delta x^2)$  ist bedingt stabil unter der Bedingung

$$\kappa \frac{\Delta t}{\Delta x^2} \le \frac{1}{2^d} \implies \Delta t \sim \Delta x^2$$

Die Stabilitätsbedingung führt somit auf die praktische Genauigkeit  $O(\Delta x^2)$  und ist damit ein Verfahren zweiter Ordnung in Raum und Zeit.

#### Implizite Verfahren

Das implizite Verfahren  $O(\Delta t, \Delta x^2)$  oder das Crank-Nicolson-Verfahren  $O(\Delta t^2, \Delta x^2)$  sind bedingungslos stabil.

Grundlagen: FD, FE, FV Roller, Ferch, Munz, Dumbser ICFD-05l Slide 29 Universität Stuttgart



MAG HLR S ∭



#### 1.3 Differenzenverfahren für hyperbolische Gleichungen

$$u_t + au_x = 0$$
,  $a \in \Re$ 

lineare Transportgleichung

Explizite Differenzenverfahren

$$\frac{u_{i}^{n+1} - u_{i}^{n}}{\Delta t} + a \frac{u_{i+1}^{n} - u_{i-1}^{n}}{2\Delta x} = 0 \qquad O(\Delta t, \Delta x^{2})$$

oder

$$u_{i}^{n+1} = u_{i}^{n} - a \frac{\Delta t}{2\Delta x} (u_{i+1}^{n} - u_{i-1}^{n})$$

Stabilität nach der von Neumannschen Analyse:

Bedingungslos instabil !!!!







#### **Einseitige Differenzen**

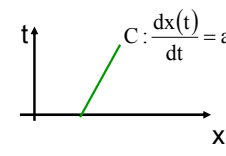
$$\frac{u_i^{n+1} - u_i^n}{\Delta t} + a \frac{u_{i+1}^n - u_i^n}{\Delta x} = 0$$
 linksseitige Differenzen

$$\frac{u_{i}^{n+1} - u_{i}^{n}}{\Delta t} + a \frac{u_{i}^{n} - u_{i-1}^{n}}{\Delta x} = 0$$

rechtsseitige Differenzen

Welches dieser Verfahren ist stabil?

Fall a>0:



physikalischer Abhängigkeitsbereich





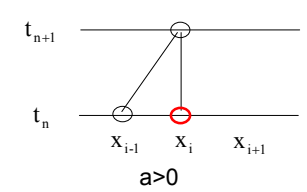


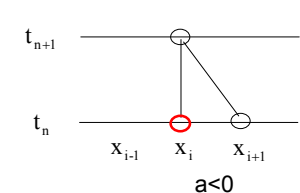
# Upwind - Verfahren oder CIR - Verfahren

$$u_i^{n+1} = u_i^n - a \frac{\Delta t}{\Delta x} \begin{cases} u_i^n - u_{i-1}^n & \text{für } a > 0 \\ u_{i}^n - u_i^n & \text{für } a < 0 \end{cases} \quad \begin{array}{c} \text{Courant, Isaacson,} \\ \text{Rees - CIR} \end{cases}$$

Upwind-Verfahren:

Differenzenbildung in die Richtung, aus der die Information kommt Die Richtung der Charakteristiken geht in das numerische Verfahren ein.













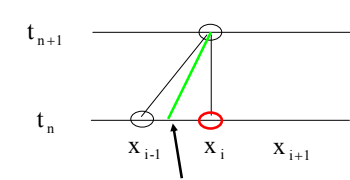




#### Upwind - Verfahren oder CIR - Verfahren

von Neumannsche Stabilitätsanalyse: Das CIR-Verfahren ist bedingt stabil unter der Stabilitätsbedingung:

$$|a| \frac{\Delta t}{\Delta x} < 1$$
 CFL-Bedingung



Der numerische Abhängigkeitsbereich muss den physikalischen überdecken



Grundlagen: FD, FE, FV Roller, Ferch, Munz, Dumbser ICFD-051 Slide 33 Universität Stuttgart

Charakteristik



MG H L R S ∭





#### Lax-Wendroff-Verfahren

$$\frac{u_i^{n+1} - u_i^n}{\Delta t} + a \frac{u_{i+1/2}^{n+1/2} - u_{i-1/2}^{n+1/2}}{\Delta x} = 0$$

2. Ordnung in Raum und Zeit Ansatz: zentrale Differenzen

Prädiktor - Korrektor - Ansatz:

Prädiktor: Berechne die Hilfswerte  $u_{i+1/2}^{n+1/2}$ 

$$u(x, t + \frac{\Delta t}{2}) = u(x, t) + \frac{\Delta t}{2} \underbrace{u_{t}(x, t)}_{= -au_{x}} + \frac{\Delta t^{2}}{8} u_{tt}(x, t) + \dots$$

$$\begin{aligned} x &= x_{i+1/2}: \\ u(x_{i+1/2}, t_{n+1/2}) &= u(x_{i+1/2}, t_n) - \frac{\Delta t}{2} a u_x(x_{i+1/2}, t_n) + \dots \\ \downarrow & \downarrow & \downarrow \\ u_{i+1/2}^{n+1/2} &= \frac{1}{2} (u_i^n + u_{i+1}^n) - \frac{\Delta t}{2} a \frac{u_{i+1}^n - u_i^n}{\Delta x} + O(\Delta t^2, \Delta x^2, \Delta t \Delta x) \end{aligned}$$



Grundlagen: FD. FE, FV Roller, Ferch, Munz, Dumbser AG HLR S





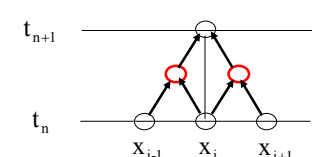


#### Lax - Wendroff - Verfahren

$$u_{_{i+1/2}}^{_{n+1/2}} = \frac{1}{2} \left( u_{_{i}}^{_{n}} + u_{_{i+1}}^{_{n}} \right) - a \frac{\Delta t}{2\Delta x} \left( u_{_{i+1}}^{_{n}} - u_{_{i}}^{_{n}} \right) , \quad i = 0, 1, \dots$$

$$u_{i}^{n+l} = u_{i}^{n} - a \frac{\Delta t}{\Delta x} \left( u_{i+1/2}^{n+1/2} - u_{i-1/2}^{n+1/2} \right), \quad i = 0, 1, \dots$$

Das Lax-Wendroff-Verfahren ist bedingt  $\left|a\right| \frac{\Delta t}{\Delta x} < 1$ stabil unter der CFL-Bedingung:



 $O(\Delta t^2, \Delta x^2)$ Konsistenz:







# Implizite Verfahren

#### Vollimplizit

$$\frac{u_i^{n+1} - u_i^n}{\Delta t} + a \frac{u_{i+1}^{n+1} - u_{i-1}^{n+1}}{2\Delta x} = 0$$

$$\begin{array}{ll} \textbf{Crank - Nicolson - Verfahren} \\ \textbf{LGS, bedingungslos stabil} \end{array} \qquad \frac{u_i^{n+1} - u_i^n}{\Delta t} + a \frac{u_{i+1}^{n+1/2} - u_{i-1}^{n+1/2}}{2\Delta x} = 0$$



# Systeme von hyperbolischen Evolutionsgleichungen

$$u_t + Au_x = 0$$

Vollimplizit, Crank – Nicolson, Lax – Wendroff – Verfahren lassen sich direkt übertragen

$$\frac{u_{i}^{n+l}-u_{i}^{n}}{\Delta t}+A\,\frac{u_{i+l}^{n+l/2}-u_{i-l}^{n+l/2}}{2\Delta x}=0$$

z.B. Crank - Nicolson

$$u_i^{n+1/2} = \frac{1}{2} \left( u_i^{n+1} + u_i^n \right)$$





# 2. Finite-Elemente-Verfahren

Anderer Ansatz: Näherungsfunktion ist eine kontinuierliche Funktion:

$$\widetilde{\mathbf{u}}(\mathbf{x},\,\mathbf{t}) = \sum_{i=1}^{N} c_{i}(\mathbf{t}) \,\phi_{i}(\mathbf{x})$$

Freiheitsgrade Basisfunktionen

Die Freiheitsgrade werden nun so bestimmt, dass sich eine möglichst gute numerische Approximation ergibt.



Grundlagen: FD, FE, FV Roller, Ferch, Munz, Dumbser (CFD-05) Slide 38 Universität Stuttgart AG H L R S







#### **Basisfunktionen**

Möglichkeit – Mononome: 1, x, x<sub>2</sub>, x<sub>3</sub>, x<sub>4</sub>, ...

Besser: lokale Funktionen – stückweise Polynome

$$\phi_{i}(x) \begin{cases} k_{1} + k_{2}x & \text{für } x \in C_{i} \\ 0 & \text{sonst} \end{cases}$$

i-tes Gitterintervall

#### Berechnung der Freiheitsgrade I

Ritzsches Verfahren

Zu der Differentialgleichung existiert ein Variationsproblem Einsetzen der Näherungslösung und Lösen des Variationsproblems

Kollokationsverfahren

Die Näherungslösung erfüllt das Ausgangsproblem an gewissen

Anzahl der Punkte = Anzahl der Freiheitsgrade

Methode der gewichteten Residuen – Galerkin-Verfahren- Least Squares

Näherungslösung wird eingesetzt und das Residuum minimiert.



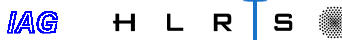














# Berechnung der Freiheitsgrade II

Ausgangsproblem:

Lu=f

Residuum:

R=Lu - f

u exakte Lösung



Einsetzen der Näherungslösung: R<sub>b</sub> = Lu<sub>b</sub> - f

Kriterien für die Bestimmung der Freiheitsgrade:

$$\int R_{\,_h} \varphi_i dx \, = 0 \quad \text{ für } \quad i=1,2,.....$$

Galerkin-Verfahren

Grundlagen: FD, FE, FV Roller, Ferch, Munz, Dumbser







#### Berechnung der Freiheitsgrade III

$$\int_{V} R_{h}^{2} dx = \min \quad \text{ für } \quad i = 1, 2, .....$$

Methode der kleinsten Quadrate

Diese Ansätze führen auf lineare Gleichungssysteme.

Lokale Basisfunktionen schwach besetzte LGS

Iterative Verfahren, z. B. SOR-Verfahren Mehraitter-Verfahren CG- und Krylow-Unterraum-Methoden



Grundlagen: FD, FE, FV Roller, Ferch, Munz, Dumbser







### 3. Finite-Volumen-Verfahren

Numerisches Verfahren für Erhaltungsgleichungen.

Schritt 1: Diskretisierung des Raumes – allgemeines Gitterkonzept

Schritt 2: Rekonstruktion der Daten am Rand der Gitterzelle

Schritt 3: Flussberechnung

 $\mathbf{u}_{t} + \nabla \cdot \mathbf{f}(\mathbf{u}) = 0 \text{ in } \mathbf{D} \times [0, T]$ Erhaltungsgleichung

Finite-Volumen-Verfahren = direkte Approximation der integralen Erhaltungsgleichung













# Erhaltungsgleichung:

Physikalisches Modell: Integrale Aussage

Erhaltung in V: u dV



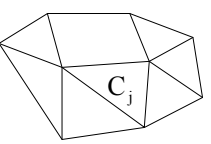
Es kann nichts entstehen oder verschwinden

$$\frac{d}{dt} \int_{V} u \, dV = - \int_{V} f \cdot \vec{n} dS$$



### Erhaltungsgleichung:

Gitter:



Integration über  $C_i \times [t_n, t_{n+1}]$ ,  $C_i$  Gitterzelle

$$\left|C_{j}\right|u_{j}^{n+1} = \left|C_{j}\right|u_{j}^{n} - \int_{t_{n}}^{t_{n+1}} \int_{\partial C_{i}} f\left(u(x,t)\right) \cdot \vec{n} \ dS \ dt$$

Evolutionsgleichung für integrale Mittelwerte

Finite-Volumen-Verfahren =

Approximation der integralen Erhaltungsgleichung

wesentlicher Baustein: Approximation des Flusses



Grundlagen: FD, FE, FV Roller, Ferch, Munz, Dumbser ICFD-051 Slide 45 Universität Stuttgart

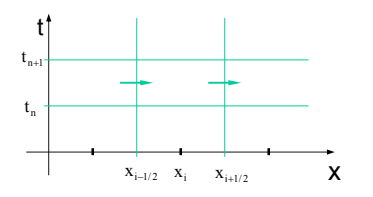




#### Finite-Volumen-Verfahren in einer Raumdimension

Erhaltungsgleichung:

$$u_t + f(u)_x = 0$$



Integration über  $[x_{i-1/2}, x_{i+1/2}]x[t_n, t_{n+1}]$ :

$$\int\limits_{t_{n}}^{t_{n+1}} \int\limits_{x_{1-1/2}}^{x_{1+1/2}} u_{t}(x,t) dx + \int\limits_{t_{n}}^{t} \int\limits_{x_{1-1/2}}^{x_{1+1/2}} f(u(x,t))_{x} \, dx dt = 0$$



# Finite-Volumen-Verfahren oder Verfahren in Erhaltungsform

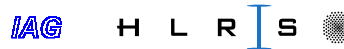
$$\begin{split} \int\limits_{t_{n}}^{t_{n+1}} \int\limits_{x_{i-1/2}}^{x_{i+1/2}} u_{t}(x,t) dx + \int\limits_{t_{n}}^{t_{n+1}} \int\limits_{x_{i-1/2}}^{x_{i+1/2}} f(u(x,t))_{x} dx dt &= 0 \\ \sum_{x_{i-1/2}}^{x_{i+1/2}} u(x,t_{n+1}) - u(x,t_{n}) dx + \int\limits_{t_{n}}^{t_{n+1}} f(u(x_{i+1/2},t)) - f(u(x_{i-1/2},t)) dt &= 0 \\ \\ u_{i}^{n+1} &= u_{i}^{n} - \frac{\Delta t}{\Delta x} \left(g_{i+1/2}^{n} - g_{i-1/2}^{n}\right) \end{split}$$

$$g_{i+1/2}$$
 approximiert  $\frac{1}{\Delta t} \int_{t_n}^{t_{n+1}} f(u(x_{i+1/2}, t)) dt$  numerischer Fluss











### Bemerkungen - Finite-Volumen-Verfahren

- · Approximation von integralen Mittelwerten
- Günstig für Erhaltungsgleichungen
- Starke Gradienten, selbst Unstetigkeiten können hierbei approximiert werden
- · Zur Flussberechnung zwischen den Gitterzellen wird die Wellenausbreitung analysiert - Riemannproblem: Shock-Capturing
- Rekonstruktion, hier: Stückweise konstant











#### Zusammenfassung FD, FE, FV

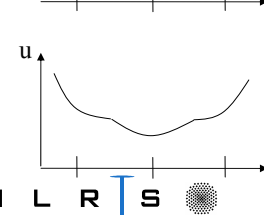
- Finite Differenzen (FD)
  - Daten werden als Punktwerte repräsentiert
  - Einfaches Coding, auch für komplizierte Gleichungen
  - Sehr kompliziert auf unstrukturierten Gittern
  - Probleme bei starken Gradienten (Unstetigkeiten)

#### •Finite Volumen (FV)

- Daten werden als Zellmittelwerte repräsentiert
- Aufwändiger zu programmieren als FD
- Einfach auf beliebigen Gittern anzuwenden
- Keine Probleme mit starken Gradienten

#### •Finite Elemente (FE)

- Daten als Freiheitsgrade von Basisfunktionen
- Noch aufwändiger zu programmieren als FV
- Einfach auf beliebigen Gittern anzuwenden
- Spezielle Techniken verhindern Probleme mit starken Gradienten



Grundlagen: FD, FE, FV Roller, Ferch, Munz, Dumbser

0

u a

#### 4. Explizites oder implizites Verfahren

#### Kriterien:

- Rechenaufwand Explizites Verfahren billiger
- Theoretische Qualitätsmerkmale Genauigkeit - Konsistenz Stabilität
- Auswahl ist problemabhängig instationäres Problem Glatte Lösungen, Stabilität



Grundlagen: FD, FE, FV Roller, Ferch, Munz, Dumbser







#### Parabolische Probleme

#### **Explizites Verfahren**

Schrittweitenbedingung sehr einschränkend:  $\Delta t \sim \kappa \Delta x^2$ 

Kommt nur in Betracht bei sehr kleinem Wärmekoeffizienten -Reibuna

#### Implizites Verfahren

Standard-Verfahren: Crank-Nicolson bedingungslos stabil







# **Hyperbolische Probleme**

### **Explizites Verfahren**

Schrittweitenbedingung  $\Delta t \sim a\Delta x$ 

Instationäre Probleme: Meist auch ein Genauigkeitskriterium, zur Stabilisierung ist Upwind-Approximation nötig.

### Implizites Verfahren

Berechnung einer stationären Lösung: vollimplizit Stabilisierung von zentralen Differenzen unter Vermeidung von Upwinding



